

PROYECTO DE RESTAURACIÓN DE LA PINTURA

SOBRE LIENZO *LA VISITACIÓN*

DE LA ERMITA DE SANTA LUCÍA DE VALENCIA

Fotografías de los procesos de intervención realizados

hasta el 27/06/2014

Amparo Castelló Palacios



Fig. 1 - Fotografía inicial del anverso



Fig. 2 - Fotografía inicial del reverso



Fig. 3 - Detalle de la limpieza de la suciedad superficial



Fig. 4 - Detalle de la limpieza de la suciedad superficial

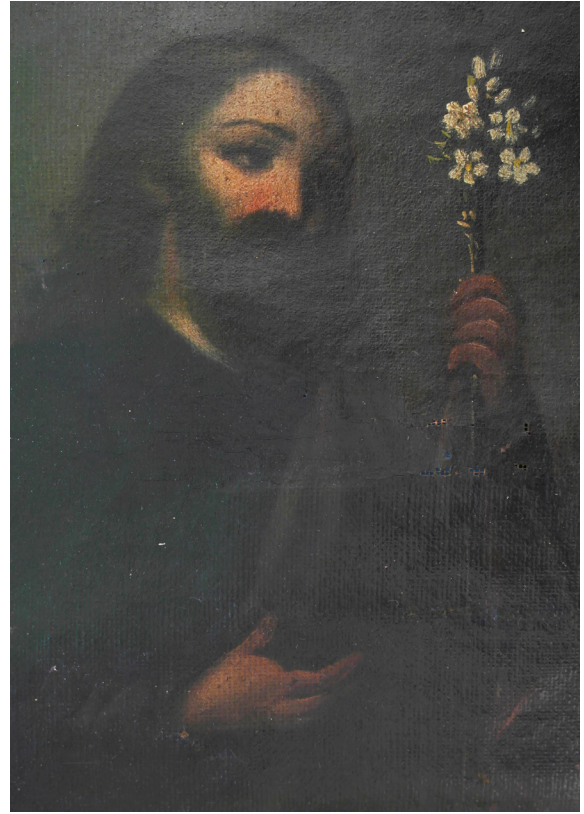


Fig. 5 - Detalle tras la limpieza de la suciedad superficial



Fig. 6 - Detalle tras la limpieza de la suciedad superficial



Fig. 7 - Detalle tras la limpieza de la suciedad superficial



Fig. 8 - Fotografía general de las consolidaciones realizadas en el anverso



Fig. 9 - Detalle de las consolidaciones realizadas en el anverso



Fig. 10 - Detalle de la eliminación de parches



Fig. 11 - Detalle de la unión provisional de rotos y desgarros

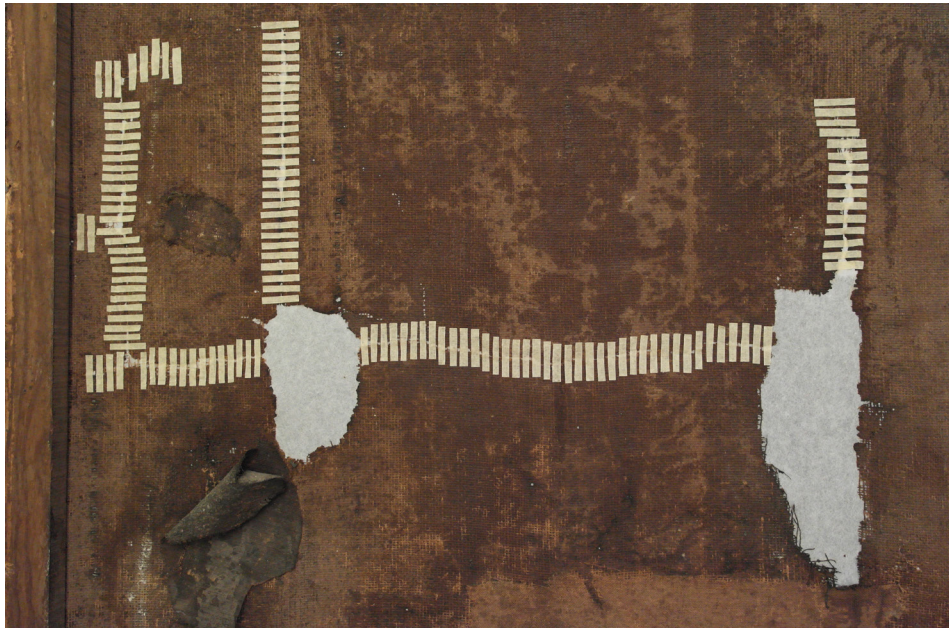


Fig. 12 - Detalle de la unión provisional de rotos y desgarros

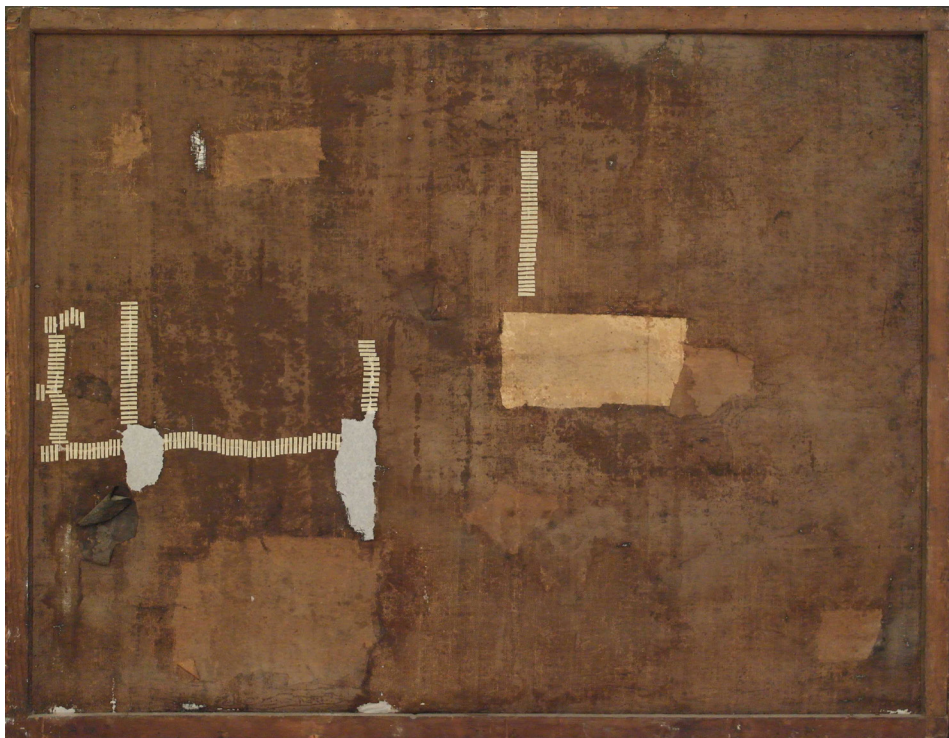


Fig. 13 - Fotografía general de la unión provisional de rotos y desgarros

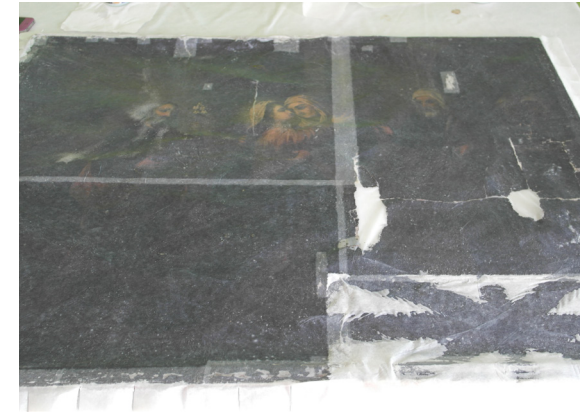


Fig. 14, 15, 16 y 17- Fotografías de la colocación de papeles de protección

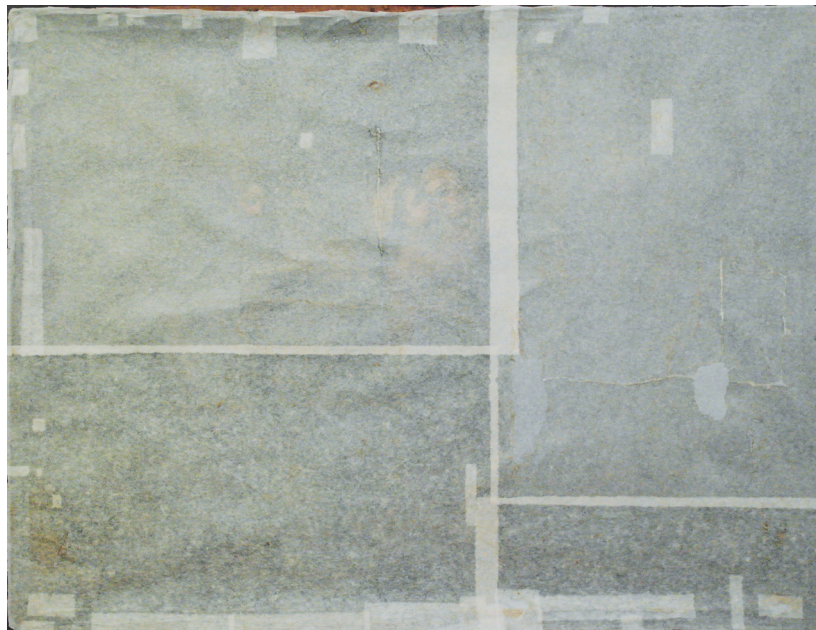


Fig. 18 - Fotografía general de la protección-consolidación



Fig. 19 - Detalle de los clavos oxidados extraídos en el desmontaje del bastidor



Fig. 20 - Detalle de la suciedad superficial acumulada detrás del bastidor



Fig. 21 - Detalle de la eliminación de la suciedad superficial con escalpelo



Fig. 22 - Detalle de la eliminación de la suciedad superficial con brocha



Fig. 23 - Estuco debajo de un parche



Fig. 24 - Detalle del estuco eliminado



Fig. 25 - Detalle de un parche muy adherido



Fig. 26 - Eliminación mediante escalpelo



Fig. 27 - Detalle del parche eliminado



Fig. 28 - Eliminación del adhesivo por disolución



Fig. 29 - Eliminación de deformaciones



Fig. 30 - Colocación de peso para la eliminación de deformaciones



Fig. 31 - Detalle de la unión de cortes con soldadura de hilos



Fig. 32 - Detalle de los injertos de hilos por el reverso



Fig. 33 - Detalle de pérdida de soporte



Fig. 34 - Detalle del injerto de hilos



Fig. 35 - Detalle de soldadura de hilos en agujeros

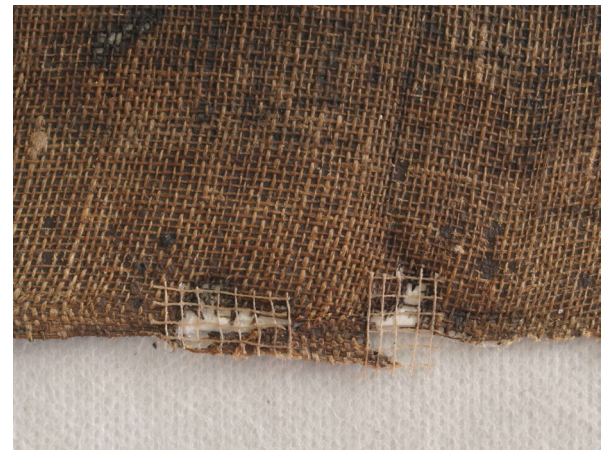


Fig. 36 - Detalle de soldadura de hilos en agujeros



Fig. 37 - Pérdidas de soporte



Fig. 38 - Injertos por el reverso a unión viva



Fig. 39 - Injerto por el reverso a unión viva



Fig. 40 - Detalle de los diferentes tratamientos aplicados para el saneamiento del soporte textil



Fig. 41 - Adhesión de TNT al reverso (entelado tipo sándwich)

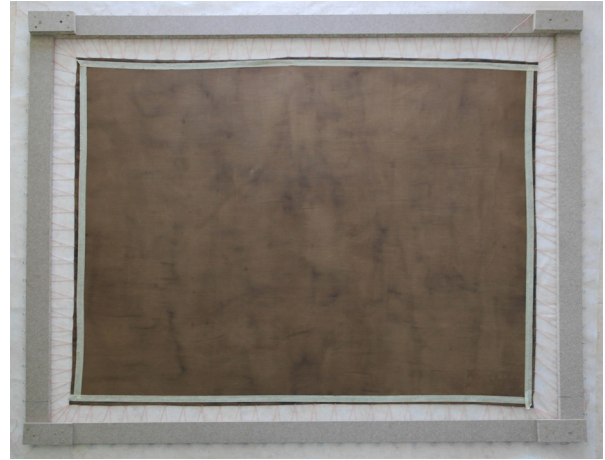


Fig. 42 - Tela de entelado tensada a un bastidor interinal



Fig. 43 - Detalle del proceso de adhesión de la tela de entelado



Fig. 44 - Detalle del proceso de adhesión de la tela de entelado



Fig. 45 - Detalle de la tela adherida al reverso de la obra



Fig. 46 - Detalle de la tela adherida al reverso de la obra



Fig. 47 - Bastidor nuevo



Fig. 48 - Bastidor nuevo tintado con colorantes naturales (té)

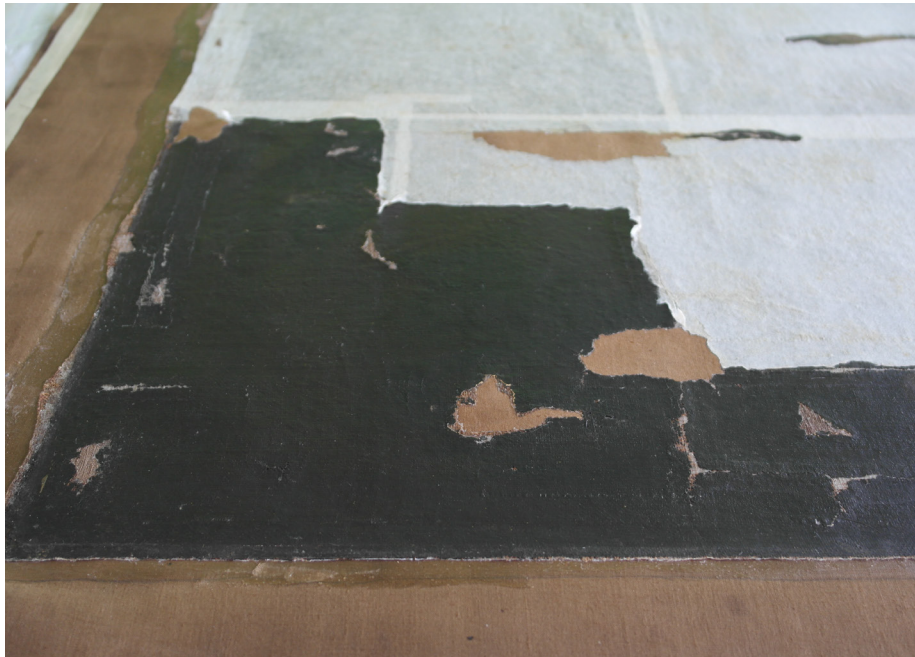


Fig. 49 - Desprotección del estrato pictórico

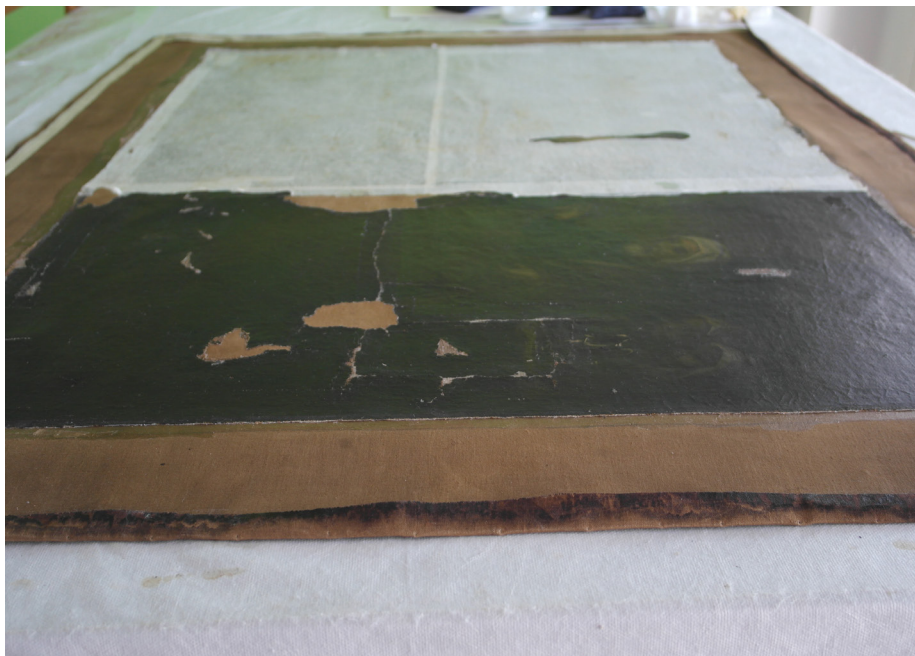


Fig. 50 - Desprotección del estrato pictórico



Fig. 51 - Detalle del montaje al bastidor



Fig. 52 - Detalle de la colocación de cuñas



Fig. 53 - Detalle del proceso de limpieza



Fig. 54 - Fotografía realizada antes de la limpieza



Fig. 55 - Fotografía realizada tras la limpieza

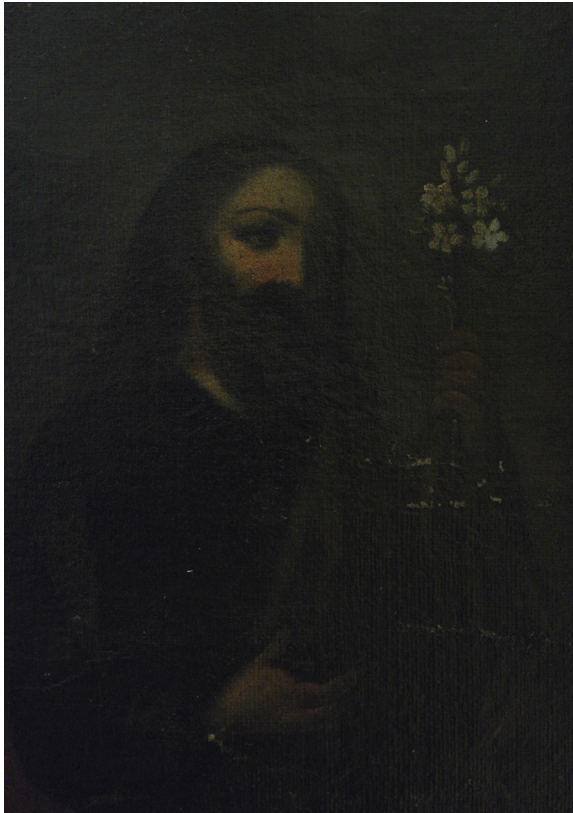


Fig. 56 - Fotografía realizada antes de la limpieza

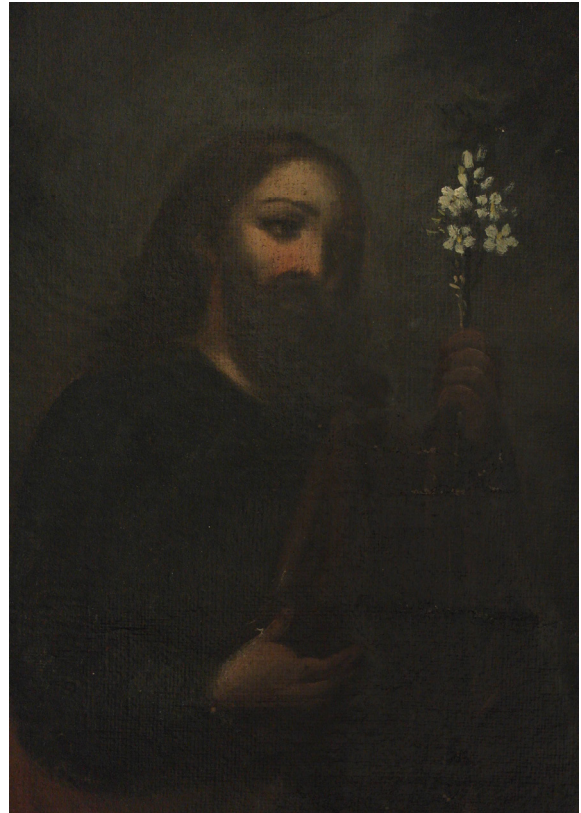


Fig. 57 - Fotografía realizada tras la limpieza

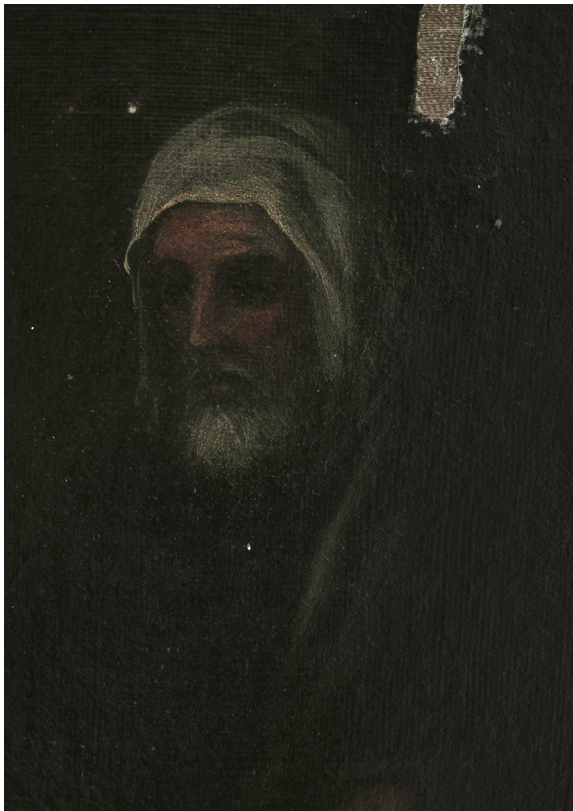


Fig. 58 - Fotografía realizada antes de la limpieza

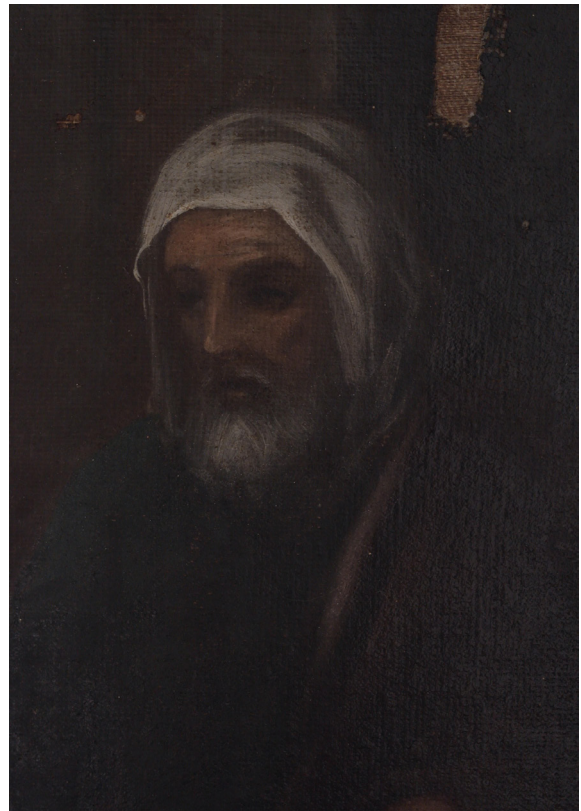


Fig. 59 - Fotografía realizada tras la limpieza



Fig. 60 - Detalle del montaje al bastidor



Fig. 61 - Detalle de la colocación de cuñas



Fig. 62 - Detalle de una intarsia



Fig. 63 - Detalle del estucado



Fig. 64 - Fotografía general de las lagunas estucadas



Fig. 65 - Fotografía general de la reintegración cromática de lagunas mediante puntillismo



Fig. 66 - Fotografía general de la reintegración cromática de lagunas mediante puntillismo



Fig. 67 - Fotografía general de la reintegración cromática de lagunas mediante puntillismo



Fig. 68 - Fotografía general de la reintegración cromática de lagunas mediante puntillismo



Fig. 69 - Fotografía general de las lagunas reintegradas mediante puntillismo (primera reintegración con acuarelas)